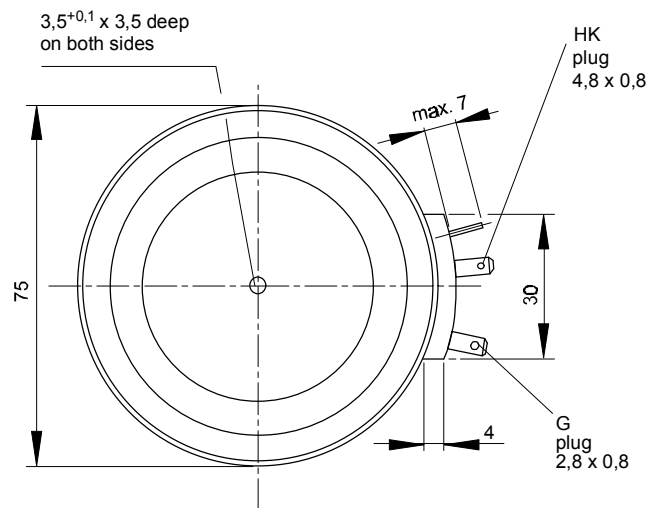
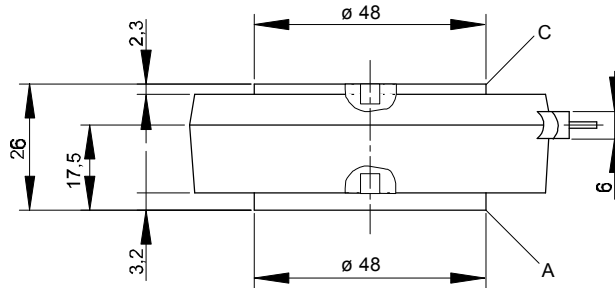




European Power-Semiconductor and Electronics Company

Marketing Information T 709 N



T 709 N

Elektrische Eigenschaften

Höchstzulässige Werte

Periodische Vorwärts- und Rückwärts-Spitzensperrspannung

Electrical properties

Maximum rated values

repetitive peak forward off-state and reverse voltages

Vorwärts-Stoßspitzensperrspannung

non-repetitive peak forward off-state voltage

Rückwärts-Stoßspitzensperrspannung

non-repetitive peak reverse voltage

Durchlaßstrom-Grenzeffektivwert

RMS on-state current

Dauergrenzstrom

average on-state current

Stoßstrom-Grenzwert

surge current

Grenzlastintegral

$I^2 t$ -value

Kritische Stromsteilheit

critical rate of rise of on-state current

Kritische Spannungssteilheit

critical rate of rise of off-state voltage

Charakteristische Werte

Durchlaßspannung

on-state voltage

Schleusenspannung

threshold voltage

Ersatzwiderstand

slope resistance

Zündstrom

gate trigger current

Zündspannung

gate trigger voltage

Nicht zündender Steuerstrom

gate non-trigger current

Nicht zündende Steuerspannung

gate non-trigger voltage

Haltestrom

holding current

Einraststrom

latching current

Vorwärts- und Rückwärts-Sperrstrom

forward off-state and reverse currents

Zündverzug

gate controlled delay time

Freiwerdzeit

circuit commutated turn-off time

Thermische Eigenschaften

Innerer Wärmewiderstand für beidseitige Kühlung

Thermal properties

thermal resistance, junction to case for two-sided cooling

für anodenseitige Kühlung

for anode-sided cooling

für kathodenseitige Kühlung

for cathode-sided cooling

Übergangs-Wärmewiderstand

thermal resistance, case to heatsink

Höchstzul. Sperrschichttemperatur

max. junction temperature

Betriebstemperatur

operating temperature

Lagertemperatur

storage temperature

Mechanische Eigenschaften

Si-Elemente mit Druckkontakt

Si-pellet with pressure contact

Anpreßkraft

clamping force

Gewicht

weight

Kriechstrecke

creepage distance

Feuchteklasse

humidity classification

Schwingfestigkeit

vibration resistance

Maßbild, anliegend

outline, attached

$t_{vj} = -40^{\circ}\text{C} \dots t_{vj \text{ max}}$	$V_{\text{DRM}}, V_{\text{RRM}}$	2000 2200 2400 2600	V
$t_{vj} = -40^{\circ}\text{C} \dots t_{vj \text{ max}}$	$V_{\text{DSM}} = V_{\text{DRM}}$	2000 2200 2400 2600	V
$t_{vj} = +25^{\circ}\text{C} \dots t_{vj \text{ max}}$	$V_{\text{RSM}} = V_{\text{RRM}}$	2100 2300 2500 2700	V
$t_c = 85^{\circ}\text{C}$	I_{TRMSM}	1500	A
$t_c = 61^{\circ}\text{C}$	I_{TAVM}	700	A
$t_{vj} = 25^{\circ}\text{C}, t_p = 10 \text{ ms}$	I_{TSM}	14500	A
$t_{vj} = t_{vj \text{ max}}, t_p = 10 \text{ ms}$		13000	A
$t_{vj} = 25^{\circ}\text{C}, t_p = 10 \text{ ms}$	$I^2 t$	$1,05 \cdot 10^6$	A^2s
$t_{vj} = t_{vj \text{ max}}, t_p = 10 \text{ ms}$		$0,845 \cdot 10^6$	A^2s
$v_D \leq 67\%, V_{\text{DRM}}, f = 50 \text{ Hz}$	$(di_T/dt)_{\text{cr}}$	50	$\text{A}/\mu\text{s}$
$v_L = 10 \text{ V}, i_{\text{GM}} = 1,5 \text{ A}, di_G/dt = 1,5 \text{ A}/\mu\text{s}$			
$t_{vj} = t_{vj \text{ max}}, v_D = 67\% V_{\text{DRM}}$	$(dv/dt)_{\text{cr}}$		
5.Kennbuchstabe/5th letter C		500	$\text{V}/\mu\text{s}$
5.Kennbuchstabe/5th letter F		1000	$\text{V}/\mu\text{s}$

$t_{vj} = t_{vj \text{ max}}, i_T = 3 \text{ kA}$	v_T	max. 2,84	V
$t_{vj} = t_{vj \text{ max}}$	$V_{\text{T(TO)}}$	1,05	V
$t_{vj} = t_{vj \text{ max}}$	r_T	0,53	$\text{m}\Omega$
$t_{vj} = 25^{\circ}\text{C}, v_D = 6 \text{ V}$	I_{GT}	max. 300	mA
$t_{vj} = 25^{\circ}\text{C}, v_D = 6 \text{ V}$	V_{GT}	max. 1,5	V
$t_{vj} = t_{vj \text{ max}}, v_D = 6 \text{ V}$	I_{GD}	max. 10	mA
$t_{vj} = t_{vj \text{ max}}, v_D = 0,5 V_{\text{DRM}}$	V_{GD}	max. 0,3	V
$t_{vj} = 25^{\circ}\text{C}, v_D = 6 \text{ V}, R_A = 5 \Omega$	I_H	max. 600	mA
$t_{vj} = 25^{\circ}\text{C}, v_D = 6 \text{ V}, R_{\text{GK}} \geq 10 \Omega$	I_L	max. 2	A
$i_{\text{GM}} = 1,5 \text{ A}, di_G/dt = 1,5 \text{ A}/\mu\text{s}, t_g = 20 \mu\text{s}$			
$t_{vj} = t_{vj \text{ max}}, v_D = V_{\text{DRM}}, v_R = V_{\text{RRM}}$	i_D, i_R	max. 100	mA
$t_{vj} = 25^{\circ}\text{C}, i_{\text{GM}} = 1,5 \text{ A}, di_G/dt = 1,5 \text{ A}/\mu\text{s}$	t_{gd}	max. 5,5	μs
siehe Techn.Erl./see Techn. Inf.	t_q	typ. 300	μs

$\Theta = 180^{\circ} \text{ el, sin}$	R_{thJC}	max. 0,029	$^{\circ}\text{C}/\text{W}$
DC		max. 0,028	$^{\circ}\text{C}/\text{W}$
$\Theta = 180^{\circ} \text{ el, sin}$	$R_{\text{thJC(A)}}$	max. 0,043	$^{\circ}\text{C}/\text{W}$
DC		max. 0,042	$^{\circ}\text{C}/\text{W}$
$\Theta = 180^{\circ} \text{ el, sin}$	$R_{\text{thJC(K)}}$	max. 0,085	$^{\circ}\text{C}/\text{W}$
DC		max. 0,084	$^{\circ}\text{C}/\text{W}$
beidseitig/two-sided	R_{thCK}	max. 0,004	$^{\circ}\text{C}/\text{W}$
einseitig/one-sided		max. 0,008	$^{\circ}\text{C}/\text{W}$
	$t_{vj \text{ max}}$	125	$^{\circ}\text{C}$
	$t_{c \text{ op}}$	-40...+125	$^{\circ}\text{C}$
	t_{stg}	-40...+150	$^{\circ}\text{C}$

	F	12...29	kN
	G	typ. 540	g
		32	mm
			C
	$f = 50 \text{ Hz}$	50	m/s^2
	DIN 41814-155B4		

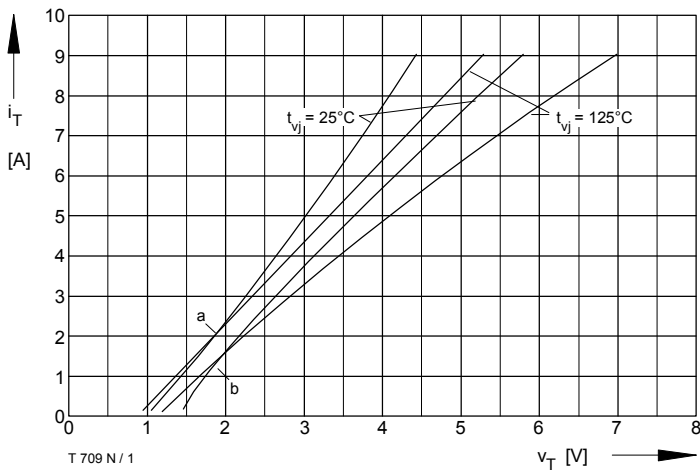


Bild / Fig. 1
 Durchlaßkennlinien / On-state characteristics $i_T = f(v_T)$, $t_{vj} = t_{vj \text{ max}}$
 a - Typische Kennlinien / typical characteristics
 b - Grenzkennlinien / limiting characteristics

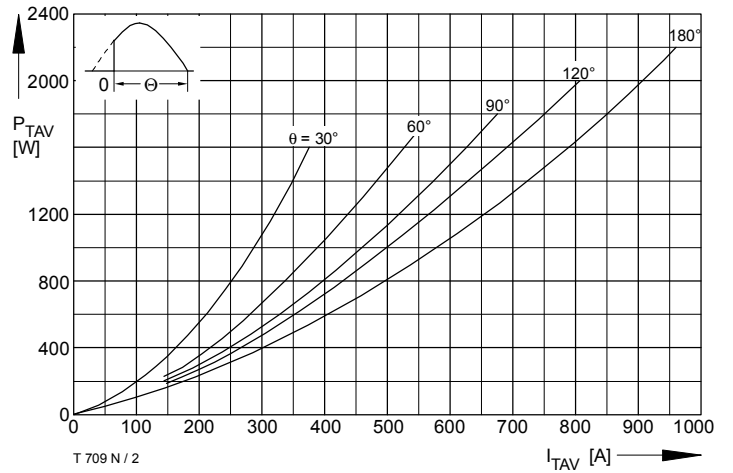


Bild / Fig. 2
 Durchlaßverlustleistung / On-state power loss $P_{TAV} = f(I_{TAV})$
 Parameter: Stromflußwinkel / Current conduction angle θ

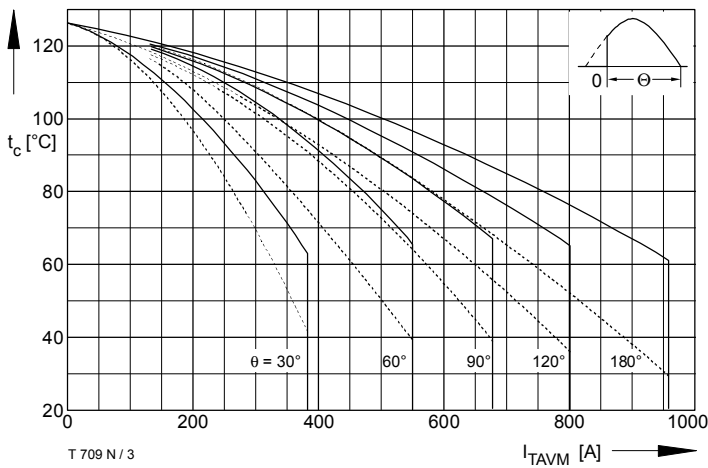


Bild / Fig. 3
 Höchstzulässige Gehäusetemperatur / Max. allowable case temperature
 $t_c = f(I_{TAVM})$
 - - - - - Anodenseitige Kühlung / Anode-sided cooling
 ———— Beidseitige Kühlung / Two-sided cooling
 Parameter: Stromflußwinkel / Current conduction angle θ

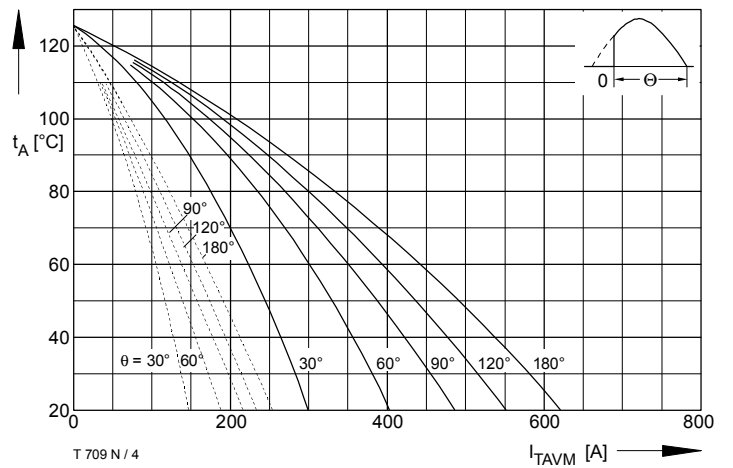


Bild / Fig. 4
 Höchstzulässige Kühlmitteltemperatur / Max. allowable cooling medium temperature $t_A = f(I_{TAVM})$
 Kühlkörper / Heatsink: K0.05F
 - - - - - Luftsebstkühlung / Natural air-cooling
 ———— Verstärkte Luftkühlung / Forced air-cooling, $V_L = 120 \text{ l/s}$
 Parameter: Stromflußwinkel / Current conduction angle θ

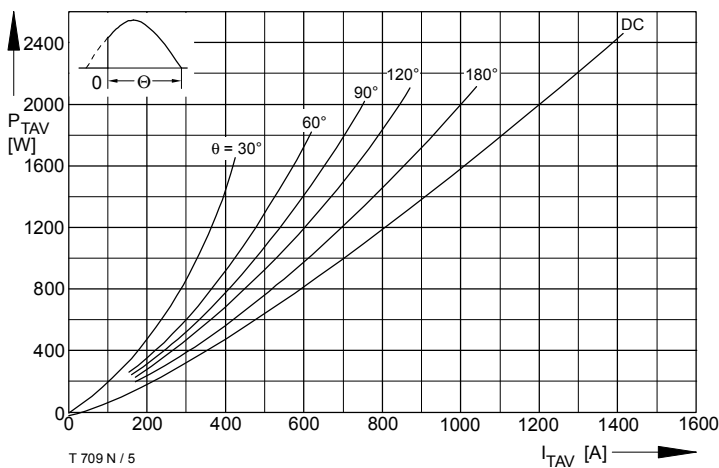


Bild / Fig. 5
 Durchlaßverlustleistung / On-state power loss $P_{TAV} = f(I_{TAV})$
 Parameter: Stromflußwinkel / Current conduction angle θ

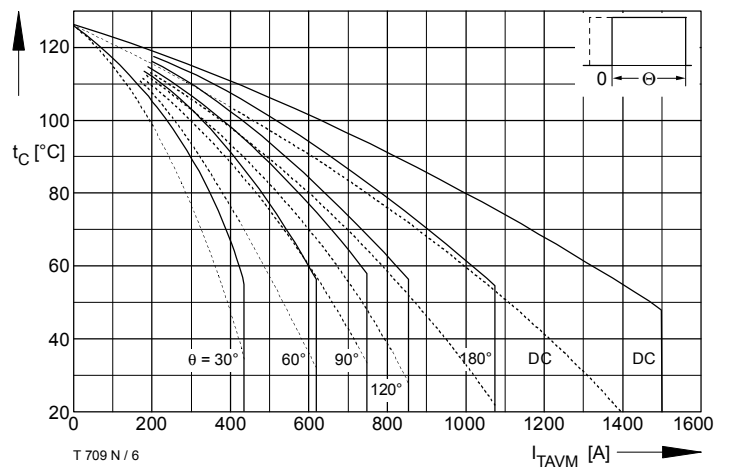


Bild / Fig. 6
 Höchstzulässige Gehäusetemperatur / Max. allowable case temperature
 $t_c = f(I_{TAVM})$
 - - - - - Anodenseitige Kühlung / Anode-sided cooling
 ———— Beidseitige Kühlung / Two-sided cooling
 Parameter: Stromflußwinkel / Current conduction angle θ

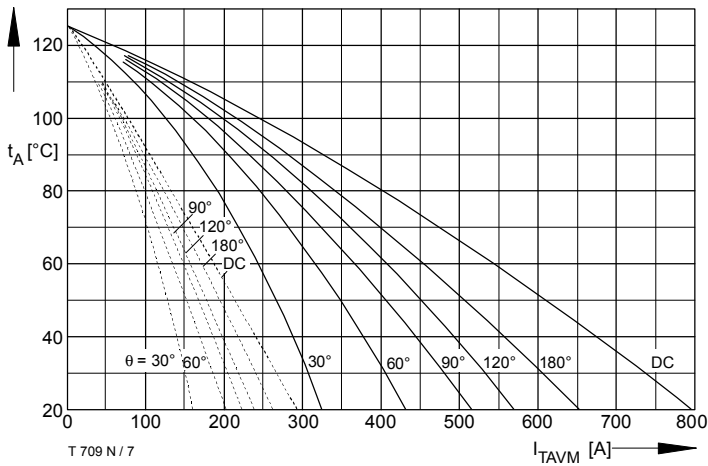


Bild / Fig. 7
 Höchstzulässige Kühlmitteltemperatur / Max. allowable cooling medium temperature $t_A = f(I_{TAVM})$
 Kühlkörper / Heatsink: K0.05F
 - - - - - Luftselbstkühlung / Natural air-cooling
 - - - - - Verstärkte Luftkühlung / Forced air-cooling, $V_L = 30$ l/s
 Parameter: Stromflußwinkel / Current conduction angle θ

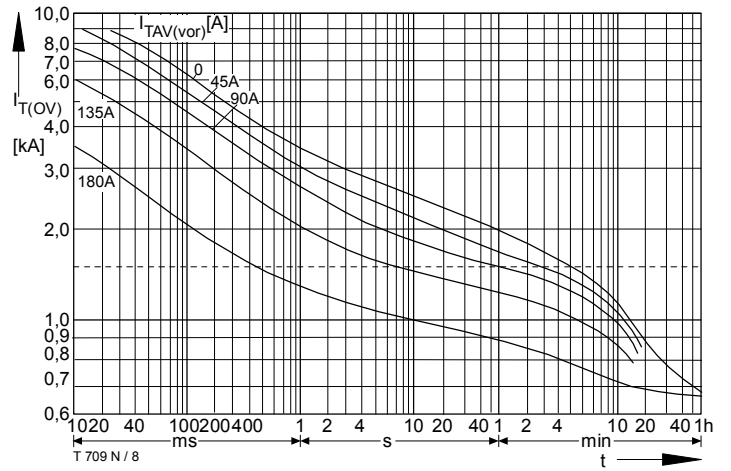


Bild / Fig. 8
 Überstrom / Overload on-state current $I_{T(OV)} = f(t)$
 Luftselbstkühlung / Natural air-cooling, $t_A = 45^\circ\text{C}$
 Kühlkörper / Heatsink: K0.55F
 Parameter: Vorlaststrom / Pre-load current $I_{TAV(vor)}$

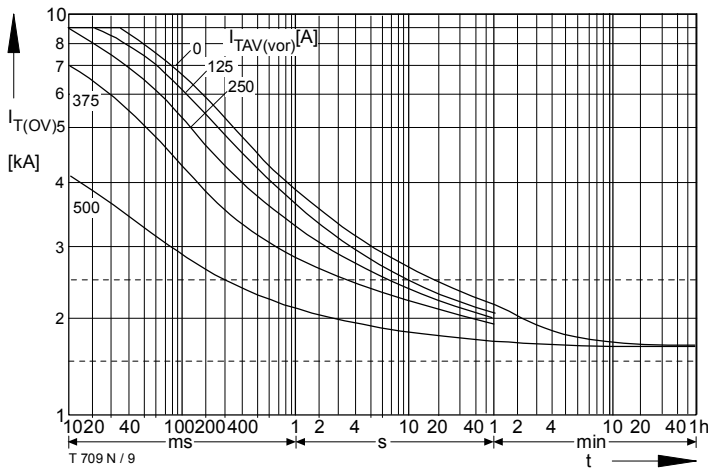


Bild / Fig. 9
 Überstrom / Overload on-state current $I_{T(OV)} = f(t)$
 Verstärkte Luftkühlung / Forced air-cooling, $t_A = 35^\circ\text{C}$
 Kühlkörper / Heatsink: K0.55F, $V_L = 120$ l/s
 Parameter: Vorlaststrom / Pre-load current $I_{TAV(vor)}$

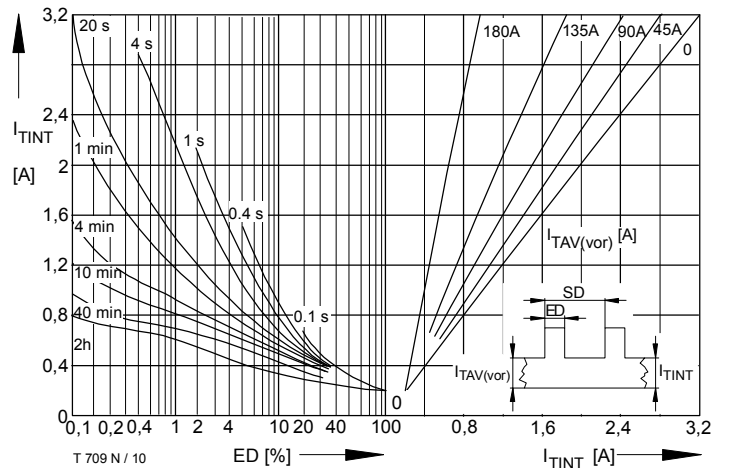


Bild / Fig. 10
 Höchstzulässiger Durchlaßstrom bei Aussetzbetrieb / Max. allowable on-state current at intermittent operation $I_{TINT} = f(ED)$
 Luftselbstkühlung / Natural air-cooling, $t_A = 45^\circ\text{C}$
 Kühlkörper / Heatsink: K0.55F
 Parameter: Spieldauer / Cycle duration SD
 Vorlaststrom / Pre-load current $I_{TAV(vor)}$

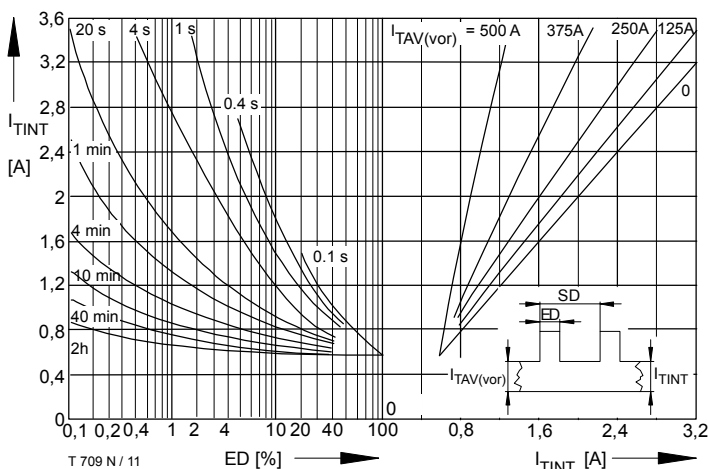


Bild / Fig. 11
 Höchstzulässiger Durchlaßstrom bei Aussetzbetrieb / Max. allowable on-state current at intermittent operation $I_{TINT} = f(ED)$
 Luftselbstkühlung / Natural air-cooling, $t_A = 35^\circ\text{C}$
 Kühlkörper / Heatsink: K0.55F, $V_L = 120$ l/s
 Parameter: Spieldauer / Cycle duration SD
 Vorlaststrom / Pre-load current $I_{TAV(vor)}$

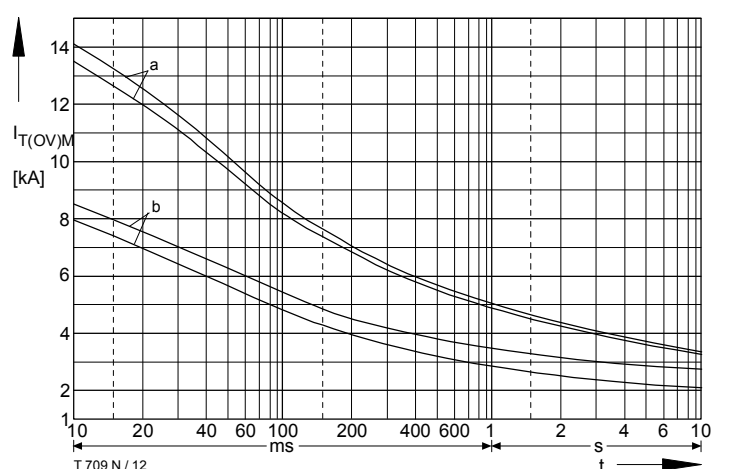


Bild / Fig. 12
 Grenzstrom / Max. overload on-state current $I_{T(OV)M} = f(t)$, $v_{RM} = 0.8 v_{RRM}$
 Beidseitige Kühlung / Two-sided cooling
 Kühlkörper / Heatsink: K0.05F
 Belastung aus / Surge current occurs:
 a - Leerlauf / No-load conditions
 b - Betrieb mit Dauergrenzstrom / During operation at max. average on-state current I_{TAVM}

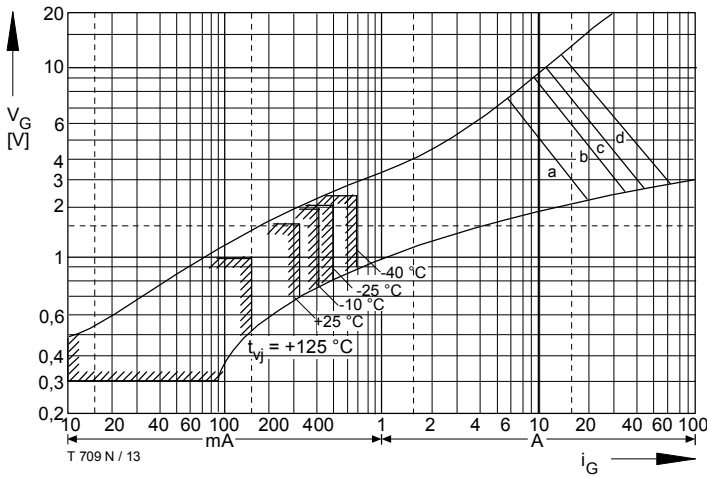


Bild / Fig. 13

Steuercharakteristik mit Zündbereichen / Gate characteristic with triggering areas $v_G = f(i_G)$, $V_D = 6 \text{ V}$

Parameter:

	a	b	c	d
Steuerimpulsdauer / trigger puls duration t_g [ms]	10	1	0,5	0,1

Höchstzulässige Spitzensteuerverlustleistung /

Max. rated peak gate power dissipation [W]	40	80	100	150
--	----	----	-----	-----

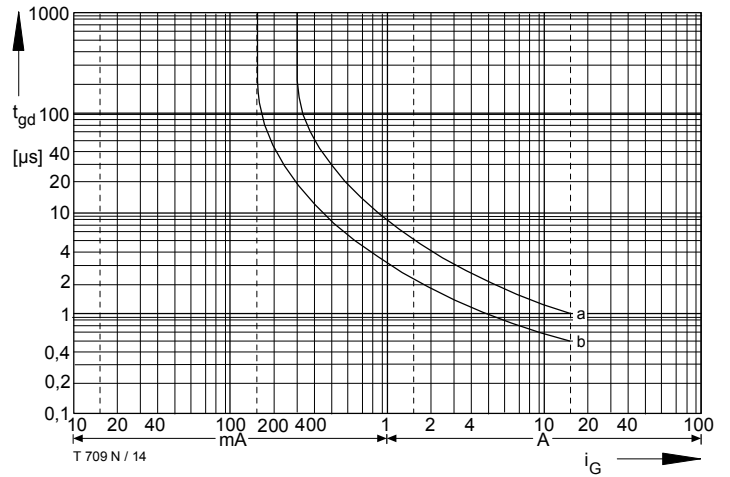


Bild / Fig. 14

Zündverzögerung / Gate controlled delay time $t_{gd} = f(i_G)$

$t_{vj} = 25 \text{ °C}$, $di_G/dt = i_{GM}/1 \mu\text{s}$

a - Maximaler Verlauf / Limiting characteristic
b - Typischer Verlauf / Typical characteristic

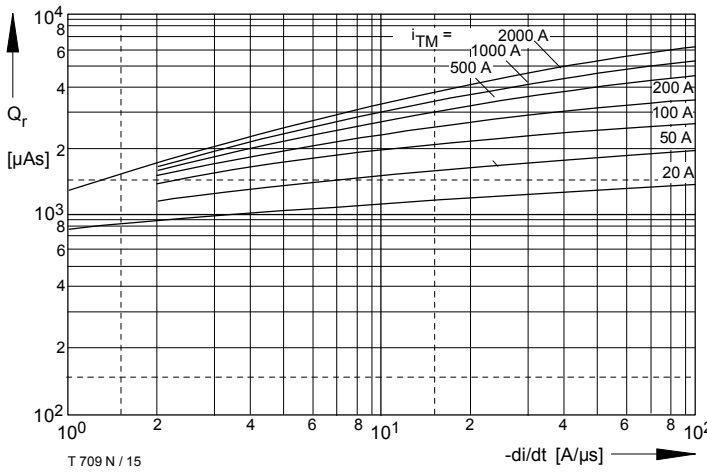


Bild / Fig. 15

Sperrverzögerungsladung / Recovered charge $Q_r = f(di/dt)$

$t_{vj} = t_{vj \text{ max}}$, $v_R = 0,5 V_{RRM}$, $v_{RM} = 0,8 V_{RRM}$

Parameter: Durchlaßstrom / On-state current i_{TM}

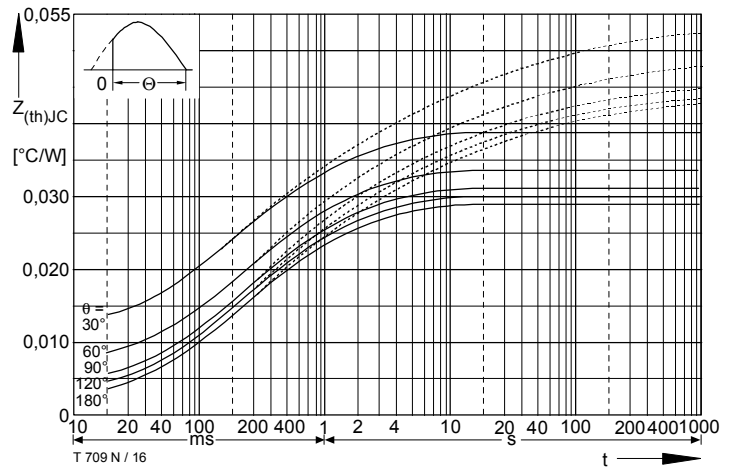


Bild / Fig. 16

Transienter innerer Wärmewiderstand / Transient thermal impedance $Z_{thJC} = f(t)$

----- Anodenseitige Kühlung / Anode-sided cooling

————— Beidseitige Kühlung / Two-sided cooling

Parameter: Stromflußwinkel / current conduction angle θ

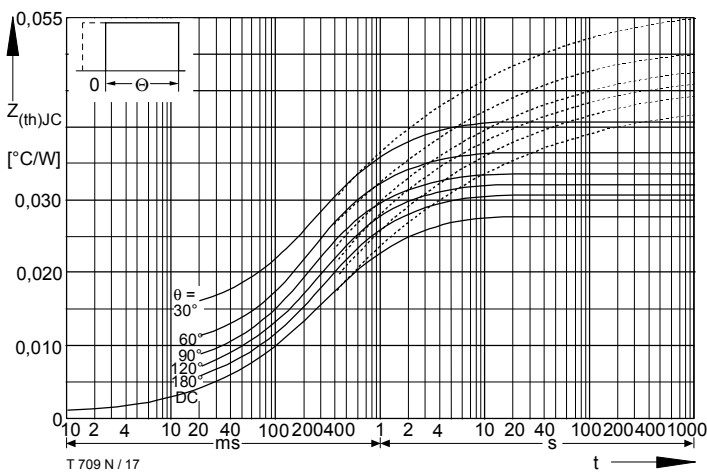


Bild / Fig. 17

Transienter innerer Wärmewiderstand / Transient thermal impedance $Z_{thJC} = f(t)$

----- Anodenseitige Kühlung / Anode-sided cooling

————— Beidseitige Kühlung / Two-sided cooling

Parameter: Stromflußwinkel / current conduction angle θ

Analytische Elemente des transienten Wärmewiderstandes Z_{thJC} pro Zweig für DC
Analytical elements of transient thermal impedance Z_{thJC} per arm for DC

Beidseitig / Two-sided

Pos. n	1	2	3	4	5	6
$R_{thn} [°C/W]$	0,0016	0,0026	0,0146	0,0079	0,0013	
$\tau_n [s]$	0,00141	0,0343	0,255	1,15	17,9	

Anodenseitig / Anode-sided

Pos. n	1	2	3	4	5	6
$R_{thn} [°C/W]$	0,00159	0,00326	0,0126	0,0119	0,00665	0,006
$\tau_n [s]$	0,00141	0,0408	0,253	1,44	12,2	144

Kathodenseitig / Cathode-sided

Pos. n	1	2	3	4	5	6
$R_{thn} [°C/W]$	0,0019	0,0066	0,0158	0,0224	0,0253	0,012
$\tau_n [s]$	0,0017	0,0784	0,635	3,69	21,6	144

Analytische Funktion / Analytical function:

$$Z_{thJC} = \sum_{n=1}^{n_{max}} R_{thn} (1 - e^{-t/\tau_n})$$

Terms & Conditions of Usage

Attention

The present product data is exclusively subscribed to technically experienced staff. This Data Sheet is describing the specification of the products for which a warranty is granted exclusively pursuant the terms and conditions of the supply agreement. There will be no guarantee of any kind for the product and its specifications. Changes to the Data Sheet are reserved.

You and your technical departments will have to evaluate the suitability of the product for the intended application and the completeness of the product data with respect to such application. Should you require product information in excess of the data given in the Data Sheet, please contact your local Sales Office via "www.eupec.com / sales & contact".

Warning

Due to technical requirements the products may contain dangerous substances. For information on the types in question please contact your local Sales Office via "www.eupec.com / sales & contact".